



## بهینه‌سازی پارتویی گستته‌ی گیربکس اصلی هلیکوپتر سیکورسکی ASH-3D

فرید وکیلی تهامی<sup>۱\*</sup>، رضا حسن‌نژاد قدیم<sup>۲</sup>، اکبر رسولیان<sup>۳</sup>

- دانشیار، مهندسی مکانیک، دانشگاه تبریز، تبریز  
- استادیار، مهندسی مکانیک، دانشگاه تبریز، تبریز  
- دانشجوی کارشناسی ارشد، مهندسی مکانیک، دانشگاه تبریز، تبریز  
\*تبریز، صندوق پستی ۵۱۶۶۶۱۴۷۶۶ f\_vakili@tabrizu.ac.ir

### چکیده

امروزه بهینه‌سازی یکی از موضوعات مهم در علوم مهندسی و صنعت بوده و برای رقابت در عرصه‌ی طراحی و تولید، استفاده از این روش در طراحی تمامی قطعات مکانیکی امری حیاتی است. از این رو می‌باشد طرحی بهینه بود که در عین سادگی، امکان تولید داشته باشد. در صنایع هواپاکا دو مسئله‌ی وزن و عمر قطعات بسیار حائز اهمیت هستند و از آنجایی که گیربکس یکی از مهم‌ترین بخش‌ها در سیستم پیشرانه‌ی هلیکوپتر می‌باشد مسئله‌ی بهینه‌سازی وزن و اطمینان از استحکام خستگی آن از اهمیت دوچندان برخوردار می‌شود. طرح‌های موجود بیشتر بر مبنای یکی از این اهداف ارائه شده‌اند اما در واقع طرحی بهینه خواهد بود که هدف‌های مختلف را دربر گیرد. از این‌رو در این مقاله، مقادیر مناسب پارامترهای طراحی شامل مدول عمودی و عرض چرخدنده‌های گیربکس اصلی هلیکوپتر سیکورسکی ASH-3D با استفاده از بهینه‌سازی چنددهفه‌ی گستته‌ی پیوسنه ترکیبی در جهت طراحی بهینه‌ی گیربکس از نظر کاهش وزن، افزایش ضربی اطمینان کمینه و کاهش اختلال ضربی اطمینان بیشینه و کمینه‌ی مجموعه‌ی چرخدنده‌ها تعیین شده و در نهایت نیز نتایج با طرح تولیدشده توسط سیکورسکی مقایسه شده است. نتایج به دست آمده در بهینه‌سازی تک‌دهفه‌ی حاکی از کاهش ۲۷.۲۴ درصدی جرم چرخدنده‌های طرح بهینه در مقایسه با گیربکس صنعتی به کار فته در هلیکوپتر سیکورسکی ASH-3D می‌باشند. نتایج بهینه‌سازی‌های دو‌دهفه و سه‌دهفه نیز به صورت جبهه‌ی پارتو ارائه و جواب‌هایی با حالت‌های حدی به عنوان نمونه آورده شده‌اند.

### اطلاعات مقاله

- مقاله پژوهشی کامل  
دریافت: ۲۸ فروردین ۱۳۹۳  
پذیرش: ۱۹ خداداد ۱۳۹۳  
ارائه در سایت: ۱۷ آبان ۱۳۹۳  
کلید واژگان:  
گیربکس هلیکوپتر  
خستگی  
وزن  
بهینه‌سازی چنددهفه‌ی گستته‌ی پیوسنه  
جبهه‌ی پارتو

## Pareto discrete- continuous optimization of Sikorsky ASH-3D helicopter main gearbox

Farid Vakili-Tahami<sup>1\*</sup>, Reza Hassannejad Qadim<sup>1</sup>, Akbar Rasoulian<sup>1</sup>

1- Department of Mechanical Engineering, University of Tabriz, Tabriz, Iran.  
\*P.O.B. 5166614766 Tabriz, Iran, f\_vakili@tabrizu.ac.ir

### ARTICLE INFORMATION

Original Research Paper  
Received 17 April 2014  
Accepted 09 June 2014  
Available Online 08 November 2014

Keywords:  
Helicopter Gearbox  
Fatigue  
Weight  
Discrete- Continuous Multi-Objective Optimization  
Pareto Front

### ABSTRACT

Nowadays, optimization is becoming one of the most important techniques in engineering and industry to provide competing products in design and manufacturing. Therefore, it is necessary to search for optimum designs with productibility. In aerospace industry reducing weight and improving the reliability of products are major concerns. Regarding the gearbox one of the most important parts in the helicopter propulsion system, these objects should be considered further. However, most of the existing designs consider only one object, hence, it is vital to implement optimization techniques to include different objectives to improve the existing designs and provide optimum products. In this paper, optimum design parameters including module and face width of gears for the main gearbox of Sikorsky ASH-3D helicopter have been determined (modified) using single and multi-objective mixed discrete- continuous optimization method to minimize weight of the gearbox, increase the safety factor and reduce the difference between safety factors of different gears. The results show that the weight of the gears can be reduced by 27.24% compared with the existing gearbox. The results of the multiobjective optimization have also been presented as Pareto front diagram which can be used by manufacturers to satisfy the preferred requirements.

جایه‌جایی‌ها، کاربرد وسائل نقلیه‌ی سریع همچون هواپیماها و هلیکوپترها

افزایش چشم‌گیری یافته است. در این میان، توسعه‌ی هلیکوپترها بهدلیل کاربردهای استراتژیک و امکان فرود آن‌ها در اماکن مختلف، سرعت بیشتری داشته است.

-۱ مقدمه در زمینه‌ی علوم مهندسی و صنایع کاربردی می‌باشد در میان طرح‌های

مختلف به دنبال طرحی بهینه با هزینه‌ی کمتر و بازده بالاتر بود که امکان تولید نیز داشته باشد. با توسعه‌ی گسترده ارتباطات و الزام افزایش سرعت در

Please cite this article using:

F. Vakili-Tahami, R. Hassannejad Qadim, A. Rasoulian, Pareto discrete- continuous optimization of Sikorsky ASH-3D helicopter main gearbox, *Modares Mechanical Engineering*, Vol. 14, No. 16, pp. 170-180, 2015 (In Persian)

برای ارجاع به این مقاله از عبارت ذیل استفاده نمایید:

www.mme.ac.ir

به یک مسئله‌ی بهینه‌سازی تک‌هدفه با تابع هدف وزن تبدیل و سپس حل شده است. نتایج نشان می‌دهند که پارامترهای طراحی ارائه شده توسط الگوریتم ژنتیکی نسبت به نتایج حاصل از تجزیه و تحلیل هندسی بهینه‌تر می‌باشند. ساوسانی و همکارانش [۵] در سال ۲۰۱۰ میلادی به بهینه‌سازی یک گیربکس با چرخدنده‌های ساده با استفاده از دو روش الگوریتم ازدحام ذرات و الگوریتم شبیه‌سازی تبرید<sup>۳</sup> پرداخته‌اند. هدف اصلی آنان در این پژوهش بهینه‌سازی پارامترهای مختلف طراحی بهمنظور دستیابی به طرح بهینه از نظر وزن بوده است. طرح درنظر گرفته شده از سوی آن‌ها شامل یک جفت چرخدنده‌ی ساده‌ی درگیر بوده و بهینه‌سازی صورت‌گرفته نیز به صورت تک‌هدفه می‌باشد. ساوسانی و همکارانش برای اعمال قیود مختلف مسئله همچون مقاومت خستگی خمشی و تماسی و فاصله‌ی بین محوری بر روی تابع هدف وزن از محدوده‌ی قیود ارائه شده توسط یاکوتا و همکارانش بهره برده‌اند. آنان ابتدا مدل بهینه‌سازی یاکوتا و همکارانش را با استفاده از معادلات استاندارد آگما<sup>۴</sup> بهبود بخشیده و سپس مسئله را حل کرده‌اند. نتایج نشان داده‌اند که مدل بهبودیافته نسبت به مدل یاکوتا و همکارانش، جواب‌های بهینه‌تری به دست می‌دهد. به علاوه هرچند جواب‌های حاصل از الگوریتم‌های بهینه‌سازی ازدحام ذرات و شبیه‌سازی تبرید تقریباً مشابه هم بوده‌اند اما الگوریتم ازدحام ذرات با تعداد تکرار کمتری مسئله را حل کرده و در نتیجه سرعت همگرایی بیشتری داشته است. سینگ و همکارانش [۶] در سال ۲۰۱۲ میلادی به بهینه‌سازی فرایند طراحی یک چرخدنده‌ی داخلی ساده‌ی درگیر با یک چرخدنده‌ی ساده‌ی خارجی، با استفاده از الگوریتم ژنتیکی پرداختند. تابع هدف در نظر گرفته شده توسط آنان فاصله‌ی بین محوری دو چرخدنده بود که رابطه‌ای مستقیم با وزن چرخدنده‌ها داشت به این صورت که با کمینه‌سازی تابع هدف مسئله، وزن چرخدنده‌ها نیز در عمل کاهش می‌یافتد. نتایج پژوهش بیانگر این موضوع بود که با پارامترهای طراحی مشابه، فاصله‌ی بین محوری به دست آمده از روش الگوریتم ژنتیکی در مقایسه با پژوهش‌های صورت‌گرفته‌ی قبلی کاهش یافته است. با کاهش فاصله‌ی بین محوری، قطر گام دو چرخدنده نیز کاهش یافته و در نهایت منجر به کاهش وزن چرخدنده‌ی درگیر شده است. سوانح و کمبل [۷] در سال ۲۰۱۲ میلادی بهینه‌سازی گیربکس‌های شامل چرخدنده‌های ساده، مخروطی و حلزونی را ارائه کرده‌اند. فرایند جستجو، ترکیبی از تغییرات هندسی، انتخاب متغیر گستته و بهینه‌سازی متغیر پیوسته را دربر می‌گرفت. در این پژوهش تابع هدف به صورت ترکیب خطی جرم و راندمان چرخدنده‌ها درنظر گرفته شده بود که با استفاده از بهینه‌سازی هندسی دنده‌های چرخدنده به دنبال یافتن راههایی برای ساختن چرخدنده‌های کوچکتر و سبکتر بود. در پژوهش مذکور تمامی پیکربندی‌های ممکن برای انواع چرخدنده‌های ساده، مخروطی و حلزونی مورد جستجو قرار گرفته و جواب بهینه‌ی مسئله به دست آمده است. گلابی و همکارانش [۸] در سال ۲۰۱۴ میلادی به بهینه‌سازی تک‌هدفه یک گیربکس چندمرحله‌ای بر مبنای کمینه‌سازی حجم پرداخته‌اند. در این پژوهش تعداد مراحل گیربکس متغیر در نظر گرفته شده و با توجه به اینکه گیربکس تک‌مرحله‌ای، دو مرحله‌ای و یا سه مرحله‌ای باشد با استفاده از بخش جعبه‌باز بهینه‌سازی نرم‌افزار متلب<sup>۵</sup> به کمینه‌سازی حجم آن پرداخته شده است. در نهایت نیز با انتخاب مقادیر مختلفی از توان ورودی، نسبت دنده و سختی سطحی، نمودارهای کاربردی از نتایج بهینه‌سازی ارائه شده است.

1- Particle Swarm Optimization

2- Simulated Annealing

3- American Gear Manufacturers Association (AGMA)

4- MATLAB

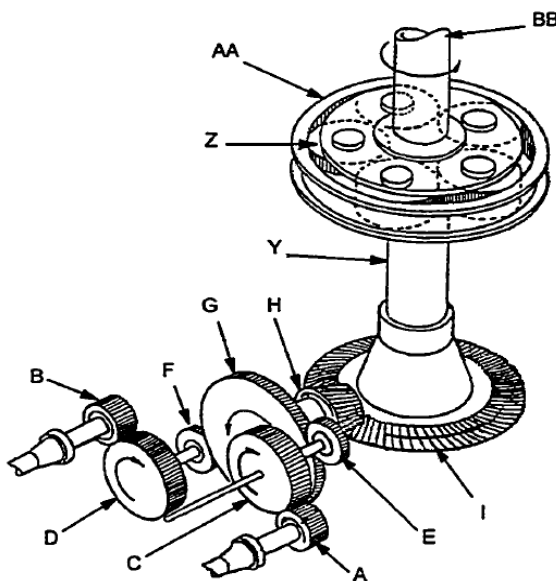
از میان سیستم‌های مختلف موجود در یک هلیکوپتر، گیربکس اصلی که وظیفه‌ی انتقال دور خروجی موتور به ملح اصلی را بر عهده دارد از اهمیت فوق العاده‌ای برخوردار است. یکی از مهم‌ترین دلایل کاربرد گیربکس در هلیکوپتر، کاهش نسبتاً زیاد دور موتور به دور ملح اصلی حدود ۱۰ تا ۱۰۰ در مدل‌های مختلف) به منظور افزایش گشتاور انتقالی به ملح اصلی، جلوگیری از آسیب نوک ملح و کاهش صدای آن می‌باشد. در صنایع هوافضا، وزن و عمر قطعات بسیار حائز اهمیت می‌باشند و از آنجایی که گیربکس یکی از مهم‌ترین بخش‌ها در سیستم پیشرانه‌ی هلیکوپتر بوده و در وزن سامانه نیز سهم بهسازی دارد، بهینه‌سازی وزن یا جرم و خستگی اجزای آن از اهمیت دوچندان برخوردار می‌شود. کاهش وزن در صنایع هوافضا از دو جنبه‌ی مختلف موردنظر قرار می‌گیرد؛ جنبه‌ی اول اینکه با کاهش وزن، مقدار ماده‌ی مصرفی و در نتیجه هزینه‌ی مواد اولیه کاهش می‌یابد و از طرف دیگر، مقدار مصرف سوخت نیز کاهش می‌یابد که این امر علاوه بر کاهش هزینه‌ی سوخت، با توجه به محدودیت‌های موجود در زمینه‌ی تولید این ساخت‌ها و مسائل استراتژیکی، مدنظر طراحان و سازندگان هواپیماها و هلیکوپترها قرار دارد. خستگی و افزایش عمر قطعات نیز با توجه به هزینه‌ی ساخت و یا تعمیر آن‌ها حائز اهمیت است؛ به صورتی که با افزایش عمر قطعات از میزان تعییرات و تعویض قطعات و تأخیرهای بوجوآمدۀ کاسته می‌شود.

کار در زمینه‌ی بهینه‌سازی گیربکس و چرخدنده نسبتاً جدید و نوپا می‌باشد. از اولین پژوهش‌های صورت‌گرفته در این زمینه، مطالعات آنجانوچ [۱] در سال ۱۹۹۶ میلادی می‌باشد که ساختاری را برای چگونگی تصمیم‌گیری در طراحی گیربکس‌ها بر مبنای روابط حاکم بر مسئله ارائه کرده است. ساختار ارائه شده به صورت یک برنامه‌ی کامپیوتری بوده و به تصمیم‌گیری‌های سودمند در طراحی گیربکس‌ها منجر شده است. این برنامه امکان بهینه‌سازی تابع هدف حجم را با قیودی همچون خستگی و نسبت دنده‌ها با استفاده از روش‌های تحلیلی ریاضی فراهم کرده و جوابی مناسب و نزدیک به حل تحلیلی ارائه می‌نمود؛ علاوه بر آن در مواردی هم که حل تحلیلی ممکن نبود، طرحی بهینه بر مبنای پارامترهای طراحی مسئله پیشنهاد می‌شد. یاکوتا و همکارانش [۲] در سال ۱۹۹۸ میلادی روش حلی بهمنظور دستیابی به وزن بهینه‌ی چرخدنده ارائه نموده‌اند. آنان در پژوهش خود به فرمول‌بندی مسئله‌ی بهینه‌سازی تک‌هدفی وزن چرخدنده با استفاده از الگوریتم ژنتیکی پرداخته‌اند. تامسون و همکارانش [۳] در سال ۲۰۰۰ میلادی به بهینه‌سازی چنددهدفه‌ی گیربکس‌های کاهنده با چرخدنده‌های ساده پرداخته‌اند. در این پژوهش یک فرمول‌بندی بهینه‌ی چنددهدفه برای گیربکس‌های کاهنده ارائه شده است که امکان کاربرد در مسائل بهینه‌سازی مختلف را داشته باشد. این فرمول‌بندی در طراحی گیربکس‌های کاهنده کاهنده‌ی دو مرحله‌ای یا سه مرحله‌ای تحت شرایط بارگذاری و معیارهای طراحی یکسان به کار برد شده است و امکان توسعه‌ی فرایند‌های طراحی سنتی با استفاده از بهینه‌سازی چنددهدفه‌ی بنیادی ضمن در نظر گرفتن مصالحه‌ی میان عمر خستگی سطحی و مقدار حجم کمینه را فراهم می‌آورد. نتایج به دست آمده نشان داده‌اند که برای شرایط بارگذاری یکسان، گیربکس کاهنده‌ی سه مرحله‌ای چه از نظر حجم و چه از نظر عمر خستگی سطحی نسبت به گیربکس کاهنده‌ی دو مرحله‌ای بهینه‌تر می‌باشد. مارسلین [۴] در سال ۲۰۰۱ میلادی به بررسی امکان استفاده از روش الگوریتم ژنتیکی و روش انتخاب جریمه برای طراحی بهینه‌ی چرخدنده‌ها پرداخته است. طراحی بهینه به صورت چنددهدفه و با توابع هدف وزن چرخدنده‌ها، خطای انتقال قدرت و فاصله‌ی بین محوری صورت گرفته است. در بخش دیگری از این پژوهش نیز مسئله‌ی بهینه‌سازی چنددهدفه با استفاده از ضرایب وزنی

گیربکس این هلیکوپتر از پیچیدگی و اهمیت خاصی برخوردار است. همانطور که در شکل ۱ مشاهده می‌شود، این گیربکس از اجتماع تعدادی چرخدنده تشکیل یافته اما در آن بهنچار از چرخدنده‌ی مخروطی برای تنییر راستای دوران افقی موتور به دوران عمودی ملخ اصلی استفاده شده است. علاوه بر آن، سیستم چرخدنده‌ی خورشیدی نیز در گیربکس هلیکوپتر به کار می‌رود. مشخصات هندسی چرخدنده‌های گیربکس در جدول ۱ آمده است. البته بررسی‌های بیشتر نشان می‌دهند که رفتار خستگی چرخدنده‌های مارپیچ و مخروطی با یکدیگر تتفاوت بوده و بهمین دلیل بهینه‌سازی هایی که همزمان شامل هر دو نوع آنها هستند پیچیده‌تر می‌باشند.

### ۳- بهینه‌سازی چنددهفه

به طور معمول، طراحی مهندسی شامل مجموعه‌ای از اهداف و معیارهای است. در صورت تضاد اهداف، جواب بهینه‌ی یکتا برای بهینه‌سازی وجود نداشته و حل مسئله مستلزم استفاده از روش‌های چنددهفه می‌باشد. شکل کلی مسئله‌ی بهینه‌سازی چنددهفه به صورت رابطه‌ی (۱) بیان می‌شود [۱۲]:



شکل ۱ طرح شماتیک گیربکس اصلی هلیکوپتر سیکورسکی ASH-3D [۱۱]

جدول ۱ مشخصات هندسی چرخدنده‌های گیربکس موجود هلیکوپتر ASH-3D  
نام‌گذاری چرخدنده‌ها مطابق شکل ۱ [۱۱]

تعداد دنده	نوع	چرخدنده
۴۱	مارپیچ*	B, A
۹۶	مارپیچ	D, C
۴۳	مارپیچ	F, E
۱۰۹	مارپیچ	G
۲۵	مخروطی مارپیچ	H
۸۵	مخروطی مارپیچ	I
۵۴	مارپیچ	Y
۷۱	مارپیچ	Z
۱۹۶	مارپیچ	AA

(\*) چرخدنده‌های مارپیچ شامل چرخدنده‌های ساده نیز می‌شوند.

نمودارهای کاربردی به‌گونه‌ای رسم شده‌اند که تمامی پارامترهای موردنیاز همچون تعداد مراحل گیربکس، مدول و عرض چرخدنده‌ها را در اختیار مخاطب قرار می‌دهند.

علی‌رغم استفاده از روش‌های مختلف بهینه‌سازی در طراحی چرخدنده‌ها، همچنان نیاز به انجام پژوهش‌های بیشتر در طراحی گیربکس‌های صنعتی به خصوص گیربکس هلیکوپتر احساس می‌شود؛ بهمین دلیل هدف اصلی در مقاله‌ی حاضر، استفاده از روش‌های بهینه‌سازی بهمنظور طراحی بهینه‌ی گیربکس هلیکوپتر با کاربرد انسانی باشد. از طرف دیگر سیستم گیربکس هلیکوپتر دارای انواع چرخدنده‌های مارپیچ و مخروطی است و بهدلیل تفاوت در رفتار خستگی آنها، استفاده از روش‌های چنددهفه به منظور ارائه‌ی طرح بهینه ضروری می‌باشد.

در پژوهش حاضر به طراحی بهینه‌ی گیربکس اصلی هلیکوپتر ASH-3D با تمرکز بر طراحی بهینه‌ی چرخدنده‌ها پرداخته شده است. بدین منظور، با بهره‌گیری از الگوریتم زنتیکی با متغیرهای گسسته- پیوسته ترکیبی<sup>۱</sup> با مرتب‌سازی بر اساس داده‌های نامغلوب<sup>۲</sup>، به بهینه‌سازی طرح موجود بهصورت تکدهفه، دودهفه و سهدهفه با اهداف کاهش جرم چرخدنده‌ها، افزایش ضربی اطمینان کمینه و کاهش اختلاف میان ضربی اطمینان کمینه و بیشینه‌ی مجموعه‌ی چرخدنده‌ها پرداخته شده است. برای محاسبه ضربی اطمینان چرخدنده‌ها، از روابط خستگی خمی و تماسی ارائه شده برای چرخدنده‌های مارپیچ و مخروطی در استانداردهای آگما<sup>۳</sup> ۲۰۰۱ و آگما<sup>۴</sup> ۲۰۰۵ و آگما<sup>۵</sup> ۹۱۰۱ استفاده شده که جزئیات بیشتر در بخش "محاسبات طراحی چرخدنده‌های اسas استاندارد آگما" آمده است. استانداردهای مذکور دو عامل مهم و امدادگی چرخدنده‌های صنعتی یعنی کندگی ناشی از تنش‌های تماس سطحی و خستگی ناشی از لیگر خمی را مورد بحث قرار می‌دهند. این مؤسسه از سال ۱۹۱۶ میلادی شروع به تدوین استانداردهای مختلف در این زمینه نموده است که در محافل علمی و صنعتی کشورمان نیز مورد استفاده می‌باشند. پارامترهای طراحی موردنظر در این پژوهش مدول عمودی و عرض چرخدنده‌ها می‌باشند که در این بین، عرض چرخدنده پارامتری با مقدار پیوسته بوده و مدول عمودی از مجموعه‌ی مرجع مدول‌های استاندارد انتخاب شده و از این‌رو متغیری گسسته محسب می‌گردد؛ در نتیجه از الگوریتم زنتیکی با متغیرهای گسسته- پیوسته ترکیبی برای بهینه‌سازی مسئله استفاده می‌شود.

### ۲- مشخصات مسئله

گیربکس اصلی هلیکوپتر سیکورسکی ASH-3D<sup>۶</sup> در شکل ۱ بهصورت شماتیک نشان داده شده است. قدرت پیشرانه‌ی هلیکوپتر ASH-3D توسط دو موتور توربین گازی از نوع ۱۰-GE T58-General Electric<sup>۷</sup> می‌شود که هریک دارای توانی برابر با ۱۴۰۰ اسب بخار (توان کل برابر با ۲۸۰۰ اسب بخار) می‌باشند. دور موتور ورودی به گیربکس اصلی (چرخدنده‌های A و B در شکل ۱) برابر با ۱۸۹۶۶ دور در دقیقه و دور خروجی از گیربکس که همان دور ملخ اصلی (شفت BB در شکل ۱) است، برابر با ۲۰۳ دور در دقیقه می‌باشد [۱۱]. بهدلیل نسبت تغییر دور قابل ملاحظه‌ی حدود ۹۴ برابری، سیستم

1- Mixed discrete- continuous genetic algorithm

2- Non-dominated Sorting Genetic Algorithm (NSGA)

3- AGMA 2001-D04

4- ANSI/AGMA 2005-D03

5- Sikorsky ASH-3D

برای کدگشایی متغیرها از روابط (۴) و (۵) استفاده می‌شود [۱۳]:

$$x_{\text{quant}} = \left( \sum_{m=1}^{N_{\text{gene}}} \text{gene}[m] \times 2^{-m} \right) + 2^{-(M+1)} \quad (4)$$

$$\zeta_n = x_{\text{quant}} (x_{\max} - x_{\min}) + x_{\min} \quad (5)$$

در روابط (۴) و (۵) فرم گسسته‌سازی شده  $x_{\text{norm}}$  و  $\zeta_n$  فرم گسسته‌سازی شده  $\bar{x}$  می‌باشند.

الگوریتم ژنتیکی دودویی<sup>۱</sup> با استفاده از بیت‌ها<sup>۲</sup> به حل مسئله می‌پردازد. مقادیر گسسته‌سازی شده  $\zeta_n$ <sup>۳</sup> یا متغیرها به صورت ریاضی با ضرب کردن بردار شامل بیت‌ها در بردار شامل سطوح گسسته‌سازی بدست می‌آیند [۱۳]:

$$\begin{aligned} \zeta_n &= \text{gene} \times Q^T \\ \text{gene} &= [b_1 \ b_2 \ \dots \ b_N] \\ Q &= [2^{-1} \ 2^{-2} \ \dots \ 2^{-N_{\text{gene}}}] \end{aligned} \quad (6)$$

که در آنها  $N_{\text{gene}}$  تعداد بیت‌های هر زن،  $b_n$  بیت‌های دودویی (به صورت صفر و یک)،  $Q$  بردار گسسته‌سازی و  $Q^T$  ترانهاده‌ی بردار  $Q$  می‌باشند. هر کروموزوم در این پژوهش شامل هشت متغیر طراحی است. چهار متغیر اول از معرف مدول‌ها و چهار متغیر بعدی نشانگر عرض چرخنده‌هاست. با توجه به انتخاب مدول‌ها از مجموعه‌ی گسسته موجود، هر مدول با چهار بیت معادل‌سازی شده است. همچنین، هریک از متغیرهای عرض چرخنده با هشت بیت گسسته می‌شوند. شکل ۲ هر پاسخ را در فضای ددهی و دودویی نشان می‌دهد.

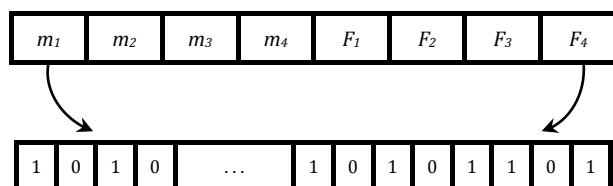
پس از کدگشایی، مقدار شایستگی هریک از داده‌ها به ازای تابع هدف تعیین می‌شود. در مرحله‌ی بعدی، یکی از توابع هدف انتخاب و مرتب می‌شود؛ سپس، جمعیت و مقادیر اهداف دیگر نیز متناظر با ترتیب مقادیر این هدف مرتب می‌شوند. در این مرحله داده‌های نامغلوب شناسایی شده و پس از رتبه‌بندی، از میان جمعیت جدا می‌شوند و این روند تارتیب‌بندی تمام جمعیت ادامه می‌باید. اگر مجموعه‌ی توابع هدف به شکل رابطه‌ی (۷) تعریف شود، برای مسئله‌ی کمینه‌سازی، پاسخ  $x^*$  پاسخ  $x$  را با شرط برقراری (۸) مغلوب می‌کند [۱۴]:

$$\vec{J} = J_1, J_2, \dots, J_n \quad (7)$$

$$\forall J_i \in \vec{J}, J_i(x^*) \leq J_i(x) \wedge \exists J_i \in \vec{J} : J_i(x^*) < J_i(x) \quad (8)$$

برای توزیع یکنواخت‌تر داده‌ها، از اشتراک شایستگی<sup>۴</sup> استفاده شده است. بدین منظور ابتدا با توجه به رابطه‌ی (۹) فاصله‌ی اقلیدسی ( $d_j$ ) بین جفت جواب  $x$  و  $y$  در فضای بی‌بعد بین صفر و یک محاسبه می‌شود [۱۵]:

$$d_j(x, y) = \sqrt{\sum_{i=1}^n \frac{(J_i(x) - J_i(y))^2}{J_i^{\max} - J_i^{\min}}} \quad (9)$$



شکل ۲ شکل شماتیک هر یک از پاسخ‌ها در فضای ددهی و دودویی

1- Binary Genetic Algorithm

2- Bit

3- Gene

4- Fitness Sharing

$$\text{minimize } J(x, p) = [J_1, \dots, J_n]$$

$$\text{subject to } h(x, p) = 0$$

$$g(x, p) \leq 0$$

$$X_{i, LB} \leq X_i \leq X_{i, UB} \quad (i = 1, \dots, m)$$

$$X = [X_1, \dots, X_i, \dots, X_m]$$

$$h = [h_1(x), \dots, h_r(x)]$$

$$g = [g_1(x), \dots, g_{r_2}(x)]$$

(۱)

که در این روابط  $J$ ،  $p$  و  $n$  به ترتیب بردار توابع هدف، بردار متغیرهای طراحی، بردار ثوابت و تعداد اهداف می‌باشند و هر متغیر طراحی بین دو مقدار حد پایین ( $X_{i, LB}$ ) و حد بالا ( $X_{i, UB}$ ) محدود شده است. بهینه‌سازی ممکن است شامل دسته‌ای از قیود تساوی ( $h$ ) و نامساوی ( $g$ ) باشد. در این روابط  $r_1$  و  $r_2$  به ترتیب نشان‌دهنده‌ی تعداد قیود تساوی و نامساوی می‌باشند.

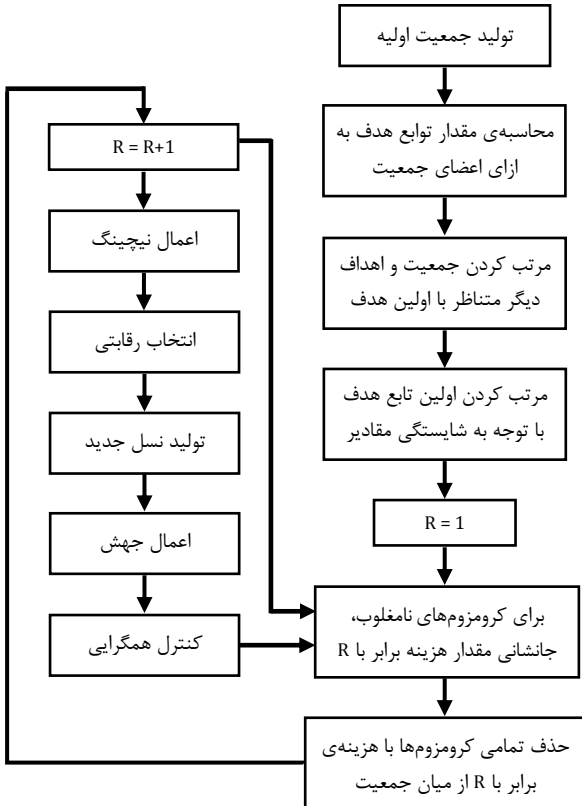
### ۳-۱- الگوریتم ژنتیکی چنددهده با مرتب‌سازی نامغلوب

در این بررسی، مسئله با بهره‌گیری از الگوریتم ژنتیکی با مرتب‌سازی نامغلوب حل شده است. الگوریتم ژنتیکی یک روش جستجو و بهینه‌سازی بر پایه‌ی انتخاب طبیعی است که جمعیت داده‌ها را تحت قانون انتخابی مشخصی بهبود می‌دهد. در این بررسی برای بهینه‌سازی چنددهده از الگوریتم ژنتیکی تک‌دهده‌ی گسسته-پیوسته و برای بهینه‌سازی طراحی گسسته-پیوسته استفاده شده است. برای بهینه‌سازی با این الگوریتم ابتدا با توجه به دامنه‌ی طراحی، یک جمعیت اولیه از متغیرهای طراحی تولید می‌شود. پس از کدگشایی داده‌ها با توجه به مجموعه‌ی مرجع متغیرهای طراحی گسسته و پیوسته، مقدار توابع هدف به‌ازای جمعیت موجود محاسبه می‌شود. با توجه به انجام بهینه‌سازی گسسته-پیوسته‌ی ترکیبی، این‌کار در مورد متغیرهای گسسته و پیوسته با دو روش مختلف انجام می‌گیرد. در مورد متغیرهای پیوسته، با در نظر گرفتن محدوده‌ی متغیرهای طراحی و مفهوم گسسته‌سازی، فضای پیوسته به مجموعه‌ای از پله‌های گسسته تبدیل می‌شود. با گسسته‌سازی، محدوده‌ی طراحی پیوسته به زیردامنه‌های بدون اشتراک گسسته تقسیم و به هر یک از زیردامنه‌ها، یک مقدار گسسته منحصر به فرد و اگذار می‌شود. اختلاف بین مقادیر تابع حقیقی و مرحله‌ی گسسته‌سازی با عنوان خطای گسسته‌سازی شناخته می‌شود. گسسته‌سازی با نمونه‌برداری از یک تابع و جانشانی نمونه‌ها در سطوح گسسته‌سازی معادل آغاز می‌گردد. هر نمونه‌ای که در یکی از سطوح گسسته‌سازی قرار می‌گیرد ممکن است مقداری برابر میانگین، بیشینه و یا کمینه‌ای آن سطح را اختیار کند. بهطور کلی و اگذاری مقدار میانگین برای نمونه‌های هر سطح ترجیح داده می‌شود؛ چراکه بیشینه خطای در این حالت برابر با نصف محدوده سطح موردنظر بوده و این در حالی است که گردکردن مقدار نمونه به مقادیر بیشینه یا کمینه سطح، خطای گسسته‌سازی را تا اندازه‌ی کل محدوده سطح افزایش می‌دهد. کدگذاری متغیرهای پیوسته با روابط (۲) و (۳) انجام می‌شود [۱۳]:

$$x_{\text{norm}} = \frac{\bar{x} - x_{\min}}{x_{\max} - x_{\min}} \quad (2)$$

$$\text{gene}[m] = \text{round} \left\{ X_{\text{norm}} - 2^{-m} - \left( \sum_{x=1}^{m-1} \text{gene}[x] \times 2^{-x} \right) \right\} \quad (3)$$

که در آنها  $x_{\text{norm}}$  متغیر بی‌بعد (بین صفر و یک)،  $\bar{x}$  متغیر حقیقی،  $x_{\min}$  مقدار کمینه‌ی متغیرها،  $x_{\max}$  مقدار بیشینه‌ی متغیرها،  $\text{gene}[m]$  دودویی  $\bar{x}$  و {} تابع تقریب به نزدیک‌ترین عدد صحیح می‌باشند. همچنین



شکل ۳ فلوچارت الگوریتم ژنتیکی با مرتب‌سازی نامغلوب

کمینه‌ی موجود می‌باشد. در بهینه‌سازی سه‌هدفه، تابع هدف به صورت کمینه‌سازی جرم، افزایش ضریب اطمینان کمینه‌ی موجود و کاهش اختلاف میان ضرایب اطمینان کمینه و بیشینه‌ی مجموعه‌ی چرخدنده‌ها در نظر گرفته شده‌اند. نکته‌ی مهم در مورد ضرایب اطمینان خستگی این است که با استفاده از نکته‌ی خستگی همگرایی از ضرایب اطمینان موردنظر  $SF_d$  برای محاسبات ضریب اطمینان خستگی خمثی و  $SH_d$  برای محاسبات ضریب اطمینان خستگی تماسی) باشند تا چرخدنده‌ی خاصی محدود‌کننده‌ی قید خستگی نباشد و از سوی دیگر به منظور استفاده‌ی حداکثری از مواد و ظرفیت کاری چرخدنده‌ها، باید اختلاف بین مقادیر ضرایب اطمینان کمینه و بیشینه حداقل باشد. روابط (۱۴) تابع هدف موجود را بیان می‌کنند:

$$\begin{aligned}
 J^{(1)} &= \underset{i=1}{\text{minimize}} \sum^z M_{Gear} \\
 J^{(2)} &= \underset{\text{min}}{\text{maximize}} SF_{\min}, SH_{\min}^2 \\
 &= \underset{\text{min}}{\text{maximize}} FS_{\min} \\
 J^{(3)} &= \underset{\text{max}}{\text{minimize}} SF_{\max}, SH_{\max}^2 - \underset{\text{min}}{\text{minimize}} SF_{\min}, SH_{\min}^2
 \end{aligned} \quad (14)$$

که در آنها  $M_{Gear}$  بیانگر جرم چرخدنده‌ها می‌باشد. همان‌طور که در رابطه‌ی (۱۴) مشاهده می‌شود ضریب اطمینان چرخدنده ( $FS$ ) بر اساس استاندارد آگما برابر مقدار کمینه‌ی بین ضریب اطمینان خمثی ( $SF$ ) و محدود ضریب اطمینان تماسی ( $SH^2$ ) در نظر گرفته می‌شود.

شکل کلی قیود حاکم بر این طرح نیز در روابط (۱۵) آمده است:

$$g_1 : \min(SF) \geq SF_d$$

$$g_2 : \min(SH) \geq SH_d$$

که در آن  $J_i^{\max}$  و  $J_i^{\min}$  به ترتیب برابر بیشینه و کمینه مقدار تابع هدف  $J_i$  و  $n$  تعداد اهداف می‌باشد. پس از آن، مقدار شایستگی<sup>۱</sup> برای هر حل  $x$  در نسل  $t$  به صورت رابطه‌ی (۱۰) محاسبه می‌شود [۱۵]:

$$nc(x,t) = \sum \max \left\{ \frac{\sigma_{share} - d_j(X,Y)}{\sigma_{share}}, 0 \right\} \quad (10)$$

مقدار  $\sigma_{share}$  با رابطه‌ی (۱۱) تعیین می‌شود [۱۶]:

$$\sigma_{share} = \frac{r}{\sqrt[n]{q}} = \sqrt{\frac{\sum_{k=1}^n (J_{k,\max} - J_{k,\min})^2}{2 \times \sqrt[n]{q}}} \quad (11)$$

که در آن  $q$  تعداد نقاط اوج فضای حل می‌باشد. پس از انجام محاسبات، تابع هدف جدید برای هر رتبه به شکل رابطه‌ی (۱۲) تعریف می‌شود [۱۵]:

$$f^*(x,t) = \frac{f(x,t)}{nc(x,t)} \quad (12)$$

در مرحله‌ی بعد قسمتی از داده‌های با شایستگی کمتر (در این بررسی نیمی از داده‌های نامناسب‌تر) حذف می‌شوند. برای تولید داده‌های جدید، نخست باید والدین انتخاب شوند که برای این منظور از روش انتخاب رقابتی استفاده شده است. پس از انتخاب والدین، داده‌های جدید با استفاده از عملگر تقاطع تک نقطه‌ای<sup>۲</sup> تولید می‌شوند. این عملگر به منظور تولید راه حلی جدید دو کروموزوم را باهم ترکیب می‌کند. معمولاً نقاط قطع به صورت تصادفی از میان پدر و مادر انتخاب می‌شوند. با اعمال عملگر جهش از همگرایی الگوریتم به کمینه‌ی محلی جلوگیری می‌شود. بدین منظور می‌توان نوشت [۱۷]:

$$\hat{x} = x + z \quad (13)$$

که در آن  $x$  و  $\hat{x}$  بردار پاسخ بیش از جهش و پس از اعمال جهش در مبنای دودویی می‌باشدند.  $z$  نیز نشانگر بردار تغییرات تصادفی است که نقش عملگر جهش را ایفا می‌کند. مقدار نرخ جهش مناسب در رسیدن به پاسخ بهینه اهمیت زیادی دارد؛ به طوری که با انتخاب نرخ نامناسب، الگوریتم زود هنگام همگرا شده و به پاسخ بهینه نمی‌رسد. این موضوع توسط شجاعی فرد و همکارانش [۱۸] به تفصیل مورد بررسی قرار گرفته و روش مناسبی توسط آنان پیشنهاد شده است که در این تحقیق نیز به منظور بررسی اثر نرخ جهش، این روش پیشنهادی مورد استفاده قرار گرفته است. از این‌رو ابتدا چند مقدار مختلف برای نرخ جهش انتخاب شده و نتایج حاصل از بهینه‌سازی و نرخ همگرایی آنها با یکدیگر مقایسه شده‌اند. لازم به ذکر است که رویه‌های مشابهی در مورد تعداد اعضای جمعیت و ضرایب جریمه نیز تکرار شده و نتایج حاصل با یکدیگر مقایسه شده‌اند. پس از این مرحله، مقدار تابع هدف به ازای هر یک از داده‌های جدید محاسبه شده و مراحل فوق تا همگرایی الگوریتم ادامه می‌یابد. شکل ۳ فلوچارت مراحل این الگوریتم را نشان می‌دهد که در آن  $R$  بیانگر رتبه‌ی مناسب به هر کروموزوم می‌باشد.

#### ۴- فرمول‌بندی مسئله‌ی بهینه‌سازی

در این بررسی با کاربرد الگوریتم ژنتیکی با مرتب‌سازی نامغلوب به طراحی بهینه‌ی تک‌هدفه، دو‌هدفه و سه‌هدفه‌ی گیربکس اصلی هلیکوپتر ASH-3D پرداخته شده است. تابع هدف مطرح در بررسی تک‌هدفه‌ی مسئله، کمینه‌سازی جرم چرخدنده‌های گیربکس می‌باشد. تابع هدف در نظر گرفته شده در بهینه‌سازی‌های دو‌هدفه شامل کمینه‌سازی جرم و افزایش ضریب اطمینان

1- Niche Count

2- Single Point Crossover

$$SH = - \frac{S_c Z_N C_H}{Z_E K_T K_R \sqrt{\frac{2T_p K_o}{K_v} \frac{1}{Fd_g^2 N_p} \frac{N_G}{Z_I} \frac{1.2 K_H Z_R}{Z_I}}} \quad (21)$$

که در این روابط  $S_t$  تنش خمشی مجاز،  $S_c$  تنش تماسی مجاز،  $SF$  ضریب اطمینان خمشی،  $SH$  ضریب اطمینان تماسی،  $F$  عرض چرخدنده،  $m_t$  مدول مایل،  $N_p$  تعداد دندنه چرخ کوچک،  $N_G$  تعداد دندنه چرخ بزرگ می‌باشد.  $T_p$  و  $T_G$  نیز مقادیر گشتاورهای انتقالی چرخ کوچک و بزرگ و  $W^t$  بار مسامی انتقالی بوده و با توجه به معلوم بودن مقدار توان و دور ورودی به گیربکس اصلی به دست می‌آیند.  $d_G$  و  $d_P$  به ترتیب قطرهای گام چرخ کوچک و بزرگ بوده و بر اساس مدول مایل و تعداد دندنهای تعیین می‌گردند.

ضریب پویایی،  $K_s$  ضریب اندازه،  $Y_t$  ضریب هندسی خمشی،  $Y_N$  ضریب عمر تنش خمشی،  $Z_N$  ضریب عمر تنش تماسی،  $Z_I$  ضریب هندسی تماسی و  $Z_E$  ضریب کشسان به همراه دیگر ضرایب موجود در معادلات (۱۸) تا (۲۱) که در جدول ۲ معروف شده‌اند نیز از روابط، نمودارها و جداول موجود در استانداردهای مرجع همچون استاندارد آگما [۹، ۱۰] بدست می‌آیند.

همانطور که در روابط (۱۸) تا (۲۱) مشاهده می‌شود، مؤثرترین پارامترها در طراحی چرخدنده‌ها، مدول و عرض چرخدنده‌ها می‌باشد چرا که بهدلیل حساسیت کارکرد سیستم گیربکس هلیکوپتر سایر پارامترها در بهترین حالت قابل‌وصول در صنعت می‌باشد. برای مثال کیفیت ساخت و صافی چرخدنده‌ها از نوع سنگزئی کاملاً دقیق، یاتاقان‌بندی از نوع کاملاً دقیق با صلبیت مناسب و جنس فولاد ۹۳۱۰ مورد استفاده از مرغوب‌ترین فولادها در ساخت چرخدنده می‌باشد. بنابراین در امر بهینه‌سازی گیربکس صنعتی موجود، پارامترهای قابل تغییر زیادی به غیر از عرض چرخدنده و مدول آن که تأثیر بهسزایی در طراحی آن داشته باشند، وجود ندارند. البته در صورت طراحی از نقطهٔ صفر (طرح جدید) چنین محدودیت‌هایی وجود نداشته و بنابراین می‌توان تأثیر پارامترهای مختلف را نیز در نظر گرفت؛ هرچند روند کلی بهینه‌سازی مشابه آنچه که در این تحقیق ارائه شده است خواهد بود.

#### ۴-۲- محاسبات جرم

بهمنظور بهینه‌سازی جرم گیربکس،تابع هدف جرم بهصورت مجموع حاصل ضرب حجم اجزا در مقدار چگالی آنها درنظر گرفته شده است. با توجه به تمرکز این پژوهش بر بهینه‌سازی چرخدنده‌ها، تابع هدف جرم بهصورت مجموع جرم چرخدنده‌ها فرض می‌شود. با در نظر گرفتن شکل هندسی چرخدنده‌های مارپیچ و مخروطی به ترتیب مطابق روابط (۲۲) تا (۲۴) بدست گیربکس به ترتیب مطابق روابط (۲۲) تا (۲۴) خواهد بود:

$$M_{\text{Helical}} = \frac{\pi}{4} \rho m_t^2 N^2 F \quad (22)$$

$$M_{\text{Spiral Bevel}} = \frac{\pi}{4} \rho F \cos \gamma \times m_t^2 N^2 + 2F^2 \sin^2 \gamma - 2m_t N F \sin \gamma \quad (23)$$

$$M_{\text{total}} = \sum_{i=1}^{z_1} M_{\text{Helical}_i} + \sum_{i=1}^{z_2} M_{\text{Spiral Bevel}_i} \quad (24)$$

در روابط (۲۲) تا (۲۴) پارامترهای  $\rho$ ،  $\gamma$  و  $z_2$  و  $z_1$  به ترتیب معرف چگالی، زاویه‌ی گام چرخدنده‌ی مخروطی، تعداد چرخدنده‌های مارپیچ و مخروطی و  $M_{\text{total}}$  و  $M_{\text{Spiral Bevel}}$  و  $M_{\text{Helical}}$  مخروطی و تمامی چرخدنده‌ها می‌باشند.

بهمنظور سادگی انجام مقایسه، تابع هدف جرم بر حسب جرم طرح

$$g_3: m_n \in m_{n,\min}, \dots, m_{n,\max} \quad (15)$$

$$g_4: F_{n,\min} \leq F_n \leq F_{n,\max} \quad (15)$$

که در آنها  $m_n$  مدول عمودی و  $F$  عرض چرخدنده‌ها می‌باشند. برای اعمال قیود نامساوی مطرح شده در  $g_1$  و  $g_2$ ،تابع جریمه<sup>۱</sup> ( $J$ ) به کار رفته است. برای قید نامنوه مطرح شده در رابطه (۱۶) تابع جریمه به شکل رابطه (۱۷) به کار می‌رود:

$$g(x) \geq g_0 \quad (16)$$

$$\hat{J} = \bar{J} + \kappa \max(0, \pm [g_0 - g(x)]) \quad (17)$$

در این روابط  $x$  بردار ورودی و  $g_0$  مقدار حدی قید است. همچنین،  $\kappa$  نشان‌دهندهٔ مقدار جریمه می‌باشد که عددی نسبتاً بزرگ انتخاب می‌شود. قیود  $g_3$  و  $g_4$  نیز بر روی متغیرهای طراحی اعمال می‌شوند. از آنجایی که انتخاب مقدار ضرایب جریمهٔ صحیح در همگرایی الگوریتم به پاسخ بهینه‌هایمیت بالایی دارد، مقادیر مختلف ضرایب باهم مقایسه شده‌اند.

#### ۴-۳- محاسبات طراحی چرخدنده‌ها بر اساس استاندارد آگما

استاندارد آگما [۹، ۱۰] که توسط انجمن چرخدنده‌سازان آمریکا ارائه شده است در عرصهٔ صنعت کاربرد بسیاری داشته و امکان مقایسهٔ میان طرح‌های مختلف چرخدنده را فراهم می‌سازد. بر اساس این استاندارد، خستگی خمشی و تماسی دو عامل مهم در واماندگی چرخدنده‌ها می‌باشند که بر مبنای پارامترهای وابسته به شرایط کاری و ساخت چرخدنده بیان می‌گردند. هرچند علاوه بر این دو عامل، خراشیدگی<sup>۲</sup> و سایش<sup>۳</sup> نیز جزو مباحثه می‌در واماندگی گیربکس‌های صنعتی می‌باشند، ولی عامل اول بیشتر تحت تأثیر شرایط روانکاری چرخدنده‌ها بوده و بنابراین در پارامترهای طراحی خود چرخدنده‌ها تأثیر قابل ملاحظه‌ای ندارد. عامل سایش نیز بهدلیل محدودیت وزن چرخدنده‌های مورد استفاده در سیستم انتقال قدرت هلیکوپتر اهمیت خود را از دست می‌دهد [۱۹]. با توجه به روابط (۱۴) و (۱۵)، محاسبهٔ توابع هدف  $J^{(2)}$  و  $J^{(3)}$  و اعمال قید  $g_1$  و  $g_2$ ، نیازمند محاسبهٔ ضرایب اطمینان می‌باشند؛ از این‌رو در ادامه بهمنظور بهینه‌سازی خستگی گیربکس، معادلات ضرایب اطمینان خستگی خمشی و تماسی بر اساس استاندارد آگما برای چرخدنده‌های مارپیچ و مخروطی به ترتیب مطابق روابط (۱۸) تا (۲۱) بدست می‌آیند [۹، ۱۰]. این روابط بر اساس خستگی ناشی از لنگر خمشی و تنش‌های تماسی تدوین شده‌اند که در آن‌ها عوامل ابعاد هندسی، تمرکز تنش و اثرات دینامیکی لحاظ شده است. همچنین مؤسسهٔ آگما پارامترهای صنعتی از جمله کیفیت ساخت، صافی سطح و یاتاقان‌بندی و غیره را بر اساس داده‌های تجربی بهصورت ضرایب اصلاحی در این روابط اعمال نموده است.

$$SF = \frac{S_t Y_N Y_F m_t}{W^t K_o K_v K_s K_h K_b K_t K_r} \quad (18)$$

$$SH = \frac{S_c Z_N C_H}{Z_E K_T K_R \sqrt{W^t \sum_{i=1}^{z_1} K_o K_v K_s \frac{K_h}{d_p F} \frac{Z_R}{Z_I}}} \quad (19)$$

$$SF = \frac{S_t K_v Y_N F d_g m_t}{2 T_g K_o K_T K_R} \frac{Y_j}{1.2 K_h} \quad (20)$$

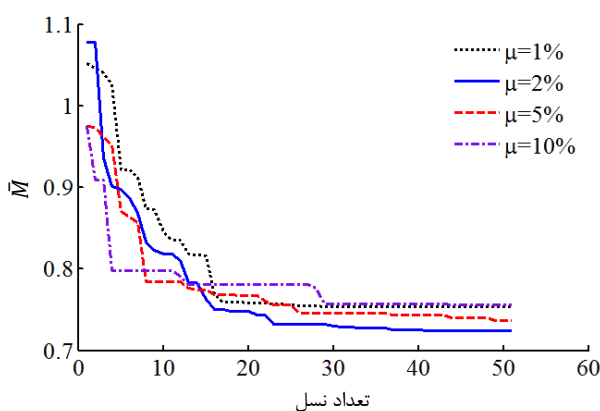
1- Penalty Function

2- Scuffing

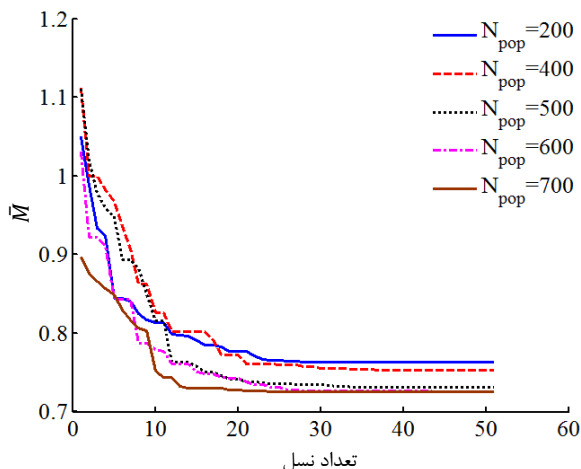
3- Wear

جدول ۳ مقادیر و حدود مفروض در حل مسئله

مقادیر مفروض	پارامتر
۱/۱	کمینه ضریب اطمینان خمشی مطلوب ( $SF_d$ )
۱/۱	کمینه ضریب اطمینان تماسی مطلوب ( $SH_d$ )
۱۹۷۷	مقاومت تماسی مجاز [۱۴] (MPa)
۵۰۷	مقاومت خمشی مجاز [۱۴] (MPa)
۳۰	عرض کمینه (mm)
۱۱۰	عرض بیشینه (mm)
۲	مدول کمینه (mm)
۹	مدول بیشینه (mm)



شکل ۴ تغییرات مقدار تابع هدف جرم بی بعد با تعداد نسل برای بهترین عضو جمعیت بهزای نرخ های جهش مختلف



شکل ۵ تغییرات مقدار تابع هدف جرم بی بعد با تعداد نسل برای بهترین عضو جمعیت بهزای تعداد جمعیت های مختلف

زنیکی به کار برده شده تعداد جمعیت برابر با  $4 \times 10^6$ ، تعداد نسل برابر با  $50 \times 10^3$  نرخ جهش برابر دو درصد ( $0.02 \times 10^3$ ) و تعداد بیت برای هر کروموزوم برابر با  $48 \times 10^3$  در نظر گرفته شده است.

نتایج حاصل از بهینه سازی تک هدفه با استفاده از الگوریتم زنیکی که در آن کمینه سازی جرم چرخدنده ها به عنوان تابع هدف در نظر گرفته شده است، بیانگر کاهش جرم چرخدنده ها تا مقدار  $216.71 \text{ کیلوگرم}$  می باشد که از کاهش  $27.24 \times 10^3$  درصدی جرم چرخدنده های طرح بهینه در مقایسه با گیربکس صنعتی به کار رفته در هلیکوپتر سیکورسکی ASH-3D حکایت دارد.

گیربکس صنعتی به کار رفته در هلیکوپتر سیکورسکی ASH-3D به صورت رابطه ( $25$ ) بی بعد سازی شده است:

$$\bar{M} = \frac{M_{\text{Design}}}{M_{\text{ASH-3D}}} \quad (25)$$

به این صورت که طرح های با جرم بی بعد ( $\bar{M}$ ) کمتر از یک، نسبت به طرح صنعتی هلیکوپتر سیکورسکی ASH-3D سبکتر بوده و طرح های با جرم بی بعد بزرگتر از یک، سنگین تر می باشند. لازم به ذکر است که جرم تمامی چرخدنده های گیربکس اصلی به کار رفته در هلیکوپتر سیکورسکی ASH-3D بر مبنای ابعاد هندسی موجود برابر  $297.86 \text{ کیلوگرم}$  برآورد شده است.

## ۵- نتایج

با کاربرد روش بهینه سازی مطرح شده، پاسخ های مسئله بهینه سازی چند هدفه برای گیربکسی با مشخصات ذکر شده در جدول ۱ به دست آمده است. زوایای فشار و مارپیچ برای چرخدنده های مارپیچ به ترتیب برابر  $20^\circ$  و  $30^\circ$  درجه و برای چرخدنده های مخروطی مارپیچ به ترتیب برابر  $20^\circ$  و  $35^\circ$  درجه فرض شده است. دیگر مشخصات و حدود مفروض در جدول ۳ ارائه شده اند. همچنین چرخدنده ها از فولاد  $9310$  ساخته شده اند که مشخصات آن نیز در جدول ۳ آمده است. مدول عمودی به عنوان متغیر گسسته طراحی نیز از میان مجموعه های مدول های استاندارد مرجع که در رابطه ( $26$ ) ارائه شده است انتخاب می شود:

$$m_n = 2, 2.25, 2.5, 2.75, 3, 3.5, 4, 4.5, 5, 5.5, 6, 7, 8, 9, 10, 11, 12 \quad (26)$$

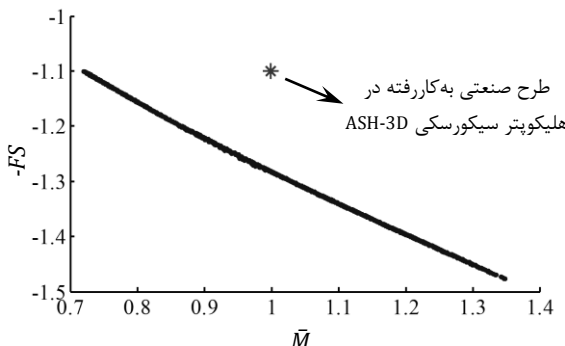
چنان که ذکر شد، برای انتخاب تعداد اعضای جمعیت، نرخ جهش و ضرایب جریمه در الگوریتم زنیکی، حالت های مختلف با یکدیگر مقایسه شده اند تا بهترین مقادیر انتخاب شوند. شکل ۴ روند تغییرات مقدار تابع هدف جرم بی بعد را بر حسب تعداد نسل برای بهترین عضو جمعیت، بهزای نرخ های جهش مختلف نمایش می دهد. چنان که مشاهده می شود، نرخ جهش ( $\mu$ ) برابر دو درصد ( $0.02 \times 10^3$ ) مناسب تر از دیگر مقادیر است.

برای تعیین تعداد اعضای جمعیت ( $N_{\text{pop}}$ ) نیز الگوریتم تدوین شده در حالت های مختلف اجرا شده است. نتایج به دست آمده برای بهترین عضو بهزای تعداد اعضای مختلف در شکل ۵ قابل مشاهده است. چنان که مشاهده می شود، افزایش جمعیت به بیش از  $600$  عضو تأثیری در همگرایی الگوریتم به نقطه ای بهینه ندارد.

برای انتخاب ضرایب جریمه مناسب، بهینه سازی با مقادیر مختلف این ضرایب صورت گرفته که نتایج حاصل در جدول ۴ قابل مشاهده است. چنان که مشاهده می شود، انتخاب ضرایب جریمه برای  $K_1$  و  $K_2$  به نتیجه ای بهتر می انجامد. با توجه به توضیحات ارائه شده در الگوریتم

جدول ۲ معرفی ضرایب مفروض در معادلات خستگی

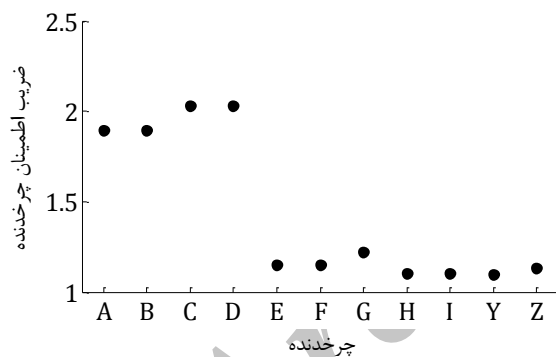
ضریب	مقادیر مفروض
۱	ضریب فرونی بار، $K_o$
۱/۲۹	ضریب کلفتی طوقه، $K_B$
۱	ضریب دمایی، $K_T$
۱/۲۵	ضریب اعتماد پذیری، $K_R$
۱/۱	ضریب پرداخت سطح، $Z_R$
۱	ضریب نسبت سختی، $C_H$



شکل ۶ جبهه‌ی جواب‌های بهینه در بهینه‌سازی دوهدفه

جدول ۵ نمونه‌ی مقادیر پارامترهای بهینه‌سازی در بهینه‌سازی دوهدفه

$F$ (mm)	$m_n$ (mm)	$F$ (mm)	$m_n$ (mm)	چرخدنده (مطابق شکل ۱)
				جواب دارای بیشترین ضرب اطمینان
۷۹/۳۲	۲	۴۰/۱۸	۲	D و C و B و A
۹۹/۲۷	۲	۴۲/۴۶	۲/۲۵	G و F و E
۱۰۸/۱۹	۹	۹۵/۶۰	۷	I و H
۱۰۹/۹۳	۳	۶۴/۴۸	۳	AA و Z و Y



شکل ۷ توزیع ضرایب اطمینان چرخدنده‌ها برای طرح دارای کمینه جرم چرخدنده‌ها (نام‌گذاری چرخدنده‌ها مطابق شکل ۱)

کاهش اختلاف میان ضرایب اطمینان کمینه و بیشینه‌ی مجموعه‌ی چرخدنده‌ها می‌باشد که به منظور استفاده‌ی حداکثری از ظرفیت ماده‌ی چرخدنده‌ها و یکنواختی بیشتر توزیع ضرایب اطمینان موردن توجه قرار می‌گیرد؛ بهاین صورت که هرچه میزان اختلاف میان ضرایب اطمینان کمینه و بیشینه، بیشتر باشد چرخدنده‌ی دارای ضرایب اطمینان کمینه به عنوان عامل محدودکننده از نظر خستگی عمل کرده و تعیین کننده‌ی میزان بار انتقالی گیربکس خواهد بود، در نتیجه چرخدنده‌ی دارای ضرایب اطمینان بیشینه تحت باری قرار می‌گیرد که به مراتب کمتر از ظرفیت کاری آن است و بهاین ترتیب گیربکس نمی‌تواند تحت ظرفیت تنفسی کامل خود عمل کند. در شکل ۹ نیز تابع هدف جرم بر حسب جرم طرح گیربکس صنعتی به کاررفته در هلیکوپتر ASH-3D بیان گردید.

همان‌طور که مشاهده می‌شود در بهینه‌سازی سه‌هدفه نیز اهداف طراحی

نتایج بهینه‌سازی دوهدفه با استفاده از الگوریتم ژنتیکی با مرتب‌سازی نامغلوب به صورت جبهه‌ی پارتی (جبهه‌ی جواب‌های بهینه) در شکل ۶ نمایش داده شده است. به منظور مقایسه‌ی نتایج حاصل با طرح گیربکس صنعتی موجود به کاررفته در هلیکوپتر سیکورسکی ASH-3D، نقطه‌ی متضاد با مقدار

جرم و ضرب اطمینان کمینه‌ی آن نیز در شکل ۶ نشان داده شده است. همان‌طور که مشاهده می‌شود اهداف طراحی باهم متناقض بوده و از این‌رو جواب یکتا برای مسئله‌ی بهینه‌سازی وجود ندارد؛ بنابراین طرح‌های با ضرب اطمینان کمینه‌ی بیشتر، جرم بیشتری خواهند داشت و بالعکس. با توجه به اینکه یکی از توابع هدف مسئله افزایش ضرب اطمینان کمینه‌ی گیربکس می‌باشد، به منظور تبدیل مسئله‌ی بیشینه‌سازی به یک مسئله‌ی کمینه‌سازی، تابع این هدف با یک علامت منفی (-FS) تعریف شده است؛ زیرا هرچه مقدار این تابع کمینه‌تر باشد مقدار عددی آن از نظر قدر مطلق که بیانگر مقدار ضرب اطمینان کمینه می‌باشد، بزرگ‌تر است.

همان‌طور که در شکل ۶ مشاهده می‌شود مسئله‌ی بهینه‌سازی دوهدفه می‌باشد؛ از این‌رو در جدول ۵ مقادیر پارامترهای بهینه‌سازی مدلول عمودی ( $m_n$ ) و عرض چرخدنده‌های ( $F$ ) مربوط به دو جواب متمایز که یکی دارای کمترین جرم و دیگری بیشترین ضرب اطمینان می‌باشند، ارائه شده‌اند. از میان جواب‌های به دست آمده، به علت اهمیت جرم در طراحی هلیکوپتر، جوابی که حداقل جرم چرخدنده‌ها را داشته و در عین حال ضرایب اطمینان تک‌تک چرخدنده‌ها در آن از مقدار مطلوب ۱/۱ بیشتر است، انتخاب شده و ضرایب اطمینان چرخدنده‌های مختلف پس از انجام محاسبات در شکل ۷ ارائه شده‌اند.

نتایج بدست آمده برای ضرایب اطمینان خمی و تماسی چرخدنده‌ها از رفتار متفاوت چرخدنده‌های مخروطی و مارپیچ در خستگی‌های خمی و تماسی حکایت دارند؛ به طوری که در یک بارگذاری ثابت، در خستگی خمی چرخدنده‌های مخروطی دارای ضرب اطمینان کمینه بوده و تعیین کننده‌ی خستگی می‌باشد اما در خستگی تماسی چرخدنده‌های مارپیچ ضرب اطمینان کمینه را داشته و عامل تعیین کننده‌ی خستگی هستند. این موضوع به‌وضوح در شکل ۸ که ضرایب اطمینان خستگی خمی و تماسی چرخدنده‌های گیربکس صنعتی هلیکوپتر سیکورسکی ASH-3D را نشان می‌دهد، قابل مشاهده است. لازم به ذکر است که چرخدنده‌ی داخلی AA در جمیع شکل ۱) به علت دربرگیری چرخدنده‌های خورشید و سیاره‌ای، ابعاد نسبتاً بزرگ و ضرب اطمینان بالایی داشته و در شکل ۸ ارائه نشده است.

نتایج بهینه‌سازی سه‌هدفه نیز به صورت جبهه‌ی پارتی سه‌بعدی که به شکل یک رویه‌ی فضایی می‌باشد، در شکل ۹ نمایش داده شده است. تابع هدف سومی که علاوه بر تابع هدف کمینه‌سازی جرم و افزایش ضرب اطمینان کمینه‌ی چرخدنده‌ها، در بهینه‌سازی سه‌هدفه در نظر گرفته می‌شود

جدول ۴ مقایسه‌ی همگرایی بنازای مقادیر مختلف ضرایب جرمیه

ردیف	جرم تمامی چرخدنده‌های طرح انتخابی گیربکس اصلی (kg)	$K_2$	$K_1$	آ
	۲۱۷/۰۵	۷	۵	آ
*	۲۱۶/۷۱	۱۰	۵	ب
	۲۲۰/۴۷	۱۵	۷	پ
ت	۲۱۷/۳۰	۱۵	۱۰	ت

#### ۶- اعتبارسنجی

اعتبارسنجی نتایج حاصل، در این تحقیق می‌تواند به دو صورت بررسی شود. در قسمت اول نتایج حاصل از گیربکس بهینه‌شده با گیربکس صنعتی موجود مقایسه می‌گردد که در صورت وجود اختلاف فاحش که مشکلات تولید یا مونتاز را در برخواهد داشت، می‌توان نتیجه گرفت که فرایند بهینه‌سازی به نتیجه‌ی مطلوبی نرسیده است؛ علاوه بر آن تأمین هدف اصلی که کاهش وزن گیربکس موجود می‌باشد نیز می‌بایست مورد بررسی قرار گیرد. بدین منظور نتایج حاصل از این تحقیق با مشخصات چرخدنده‌های گیربکس صنعتی موجود که توسط کارخانه سازنده مورد استفاده قرار گرفته، در جدول ۷ مقایسه شده است. همانطور که ملاحظه می‌شود ضمن اینکه تغییرات هندسی چرخدنده‌ها در محدوده‌ی قابل وصول در تولید صنعتی می‌باشند، وزن کل چرخدنده‌ها ۲۷/۴ درصد کاهش یافته و همچنین ضربی اطمینان و توزیع آن در چرخدنده‌های مختلف از وضعیت مطلوب تری برخوردار شده‌اند.

در قسمت دوم، مقایسه‌ی نتایج حاصل از روش‌های مختلف بهینه‌سازی مدنظر می‌باشد که در آن برای اعتبارسنجی، نتایج حاصل از بهینه‌سازی سه‌هدفه با نتایج حاصل از روش مجموع توابع هدف وزن دار مقایسه شده‌اند. بدین منظور، ترکیب خطی وزن دار اهداف مطابق رابطه‌ی (۲۷) به عنوان تابع هدف فرض شده است [۲۰]:

$$\bar{J} = \sum_{i=1}^n \lambda_i \bar{J}^{(i)} \quad (27)$$

که در آن  $\bar{J}^i$  و  $\lambda_i$  بهترتب تابع هدف بی‌بعد و ضربی وزنی  $i$  ام می‌باشند. با استفاده از این روش، مسئله‌ی بهینه‌سازی چندهدفه، به مسئله‌ای با یک هدف کاهش می‌یابد که با تغییر ضربی وزنی، جواب‌های مختلف مسئله‌ی بهینه‌سازی به دست می‌آیند. ضربی بی‌بعدسازی بایستی به گونه‌ای انتخاب شوند که شرایط معادلات (۲۸) برقرار باشند [۲۰]:

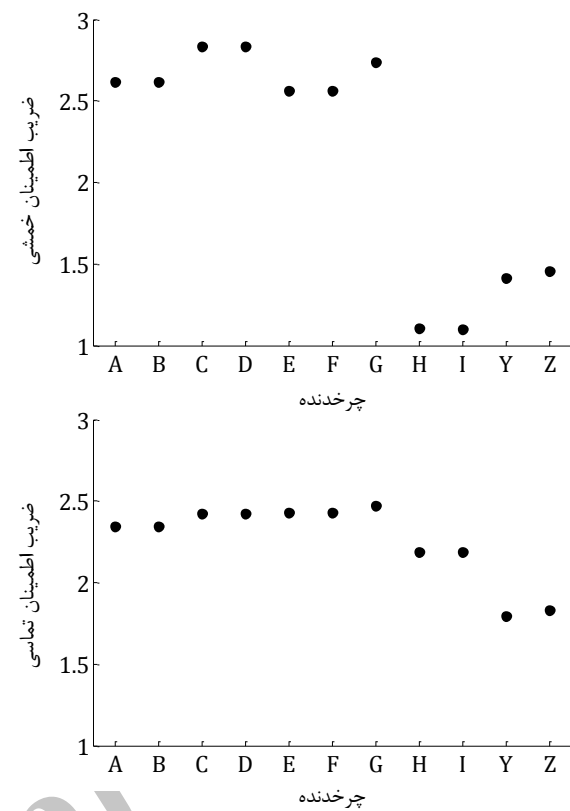
$$0 \leq \bar{J}^i \leq 1 \quad (28)$$

چنانچه  $x^*$  بردار پاسخ در بهینه‌سازی تک‌هدفه باشد، تابع هدف با استفاده از رابطه‌ی (۲۹) بی‌بعدسازی می‌شود [۲۰]:

$$\bar{J}^i = \frac{J_i - J_i^U}{J_i^N - J_i^U} \quad (29)$$

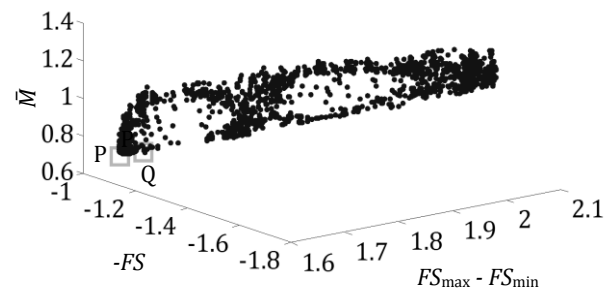
که در آن،  $J_i^U$  مقدار تابع هدف به‌ازای  $x^*$  بوده و  $J_i^N$  نیز مطابق رابطه‌ی (۳۰) محاسبه می‌شود [۲۰]:

$$J_i^N = \max[J_i(x^{1*}), J_i(x^{2*}), J_i(x^{3*})] \quad (30)$$



شکل ۸ توزیع ضربی اطمینان خمشی و تماسی برای گیربکس صنعتی هلیکوپتر سیکورسکی ASH-3D (نام‌گذاری چرخدنده‌ها مطابق شکل ۱)

با هم متناقض بوده و از این‌رو جواب یکتا برای مسئله‌ی بهینه‌سازی وجود ندارد؛ در نتیجه مقادیر پارامترهای بهینه‌سازی مدول عمودی و عرض چرخدنده‌ها برای سه جواب متمایز که یکی دارای کمترین جرم، دومی بیشترین ضربی اطمینان و دیگری کمترین اختلاف میان ضربی اطمینان کمینه و بیشینه می‌باشند، در جدول ۶ ارائه شده‌اند.



شکل ۹ جبهه‌ی پارتو یا جبهه‌ی جواب‌های بهینه در بهینه‌سازی سه‌هدفه

جدول ۶ نمونه‌ی مقادیر پارامترهای بهینه‌سازی در بهینه‌سازی سه‌هدفه

جواب داری	جواب داری	جواب داری	جواب داری
کمترین اختلاف میان ضربی اطمینان کمینه و بیشینه	بیشترین ضربی اطمینان	کمترین جرم	چرخدنده (مطابق شکل ۱)
F (mm)	m_n (mm)	F (mm)	m_n (mm)
۴۰/۱۳	۲	۷۹/۳۲	۲
۹۵/۰۸	۲	۹۹/۲۷	۲
۱۰۷/۷۹	۹	۱۰۸/۱۹	۹
۶۴/۴۷	۳	۱۰۹/۹۳	۳
۴۰/۱۸	۲	۴۲/۴۶	۲/۲۵
۹۵/۶۰	۷	۶۴/۴۸	۳
D و C و B و A		G و F و E	I و H
			AA و Z و Y

جدول ۷ مقایسه‌ی مقدار متغیرهای طراحی در گیربکس صنعتی موجود با طرح بهینه‌ی به دست آمده

طرح بهینه‌ی به دست آمده		گیربکس صنعتی به کار رفته در هلیکوپتر سیکورسکی ASH-3D		
عرض چرخدنده <i>F</i> (mm)	مدول عمودی <i>m<sub>n</sub></i> (mm)	عرض چرخدنده <i>F</i> (mm)	مدول عمودی <i>m<sub>n</sub></i> (mm)	چرخدنده
۴۰/۱۸	۲	۵۹/۰۶	۲	D و C و A
۴۲/۴۶	۲/۲۵	۶۸/۲۵	۲/۷۵	G و F و E
۹۵/۶۰	۷	۹۵/۶۱	۷	I و H
۶۴/۴۸	۳	۸۷/۲۵	۳	AA و Z و Y
۲۱۶/۷۱		۲۹۷/۸۶		جرم تمامی چرخدنده‌های گیربکس اصلی (kg)
۱/۱		۱/۱		ضریب اطمینان کمینه
۱/۶۲		۱/۸۵		بیشترین اختلاف ضرایب اطمینان کمینه و بیشینه

جرم چرخدنده‌های طرح بهینه در مقایسه با گیربکس صنعتی به کار رفته در هلیکوپتر سیکورسکی ASH-3D می‌باشد. نتایج بهینه‌سازی‌های دوهدفه (شکل ۶) و سه‌هدفه (شکل ۹) نیز به صورت جبهه‌ی جواب‌های بهینه ارائه شده‌اند. در بهینه‌سازی‌های دوهدفه و سه‌هدفه، با توجه به وجود تناسب میان اهداف طراحی، جواب یکتا برای مسئله‌ی بهینه‌سازی وجود نداشته و هریک از جواب‌های روی جبهه‌ی پارتو از نظر حداقل یکی از اهداف بهینه‌سازی بر جواب‌های دیگر غلبه دارد؛ از این‌رو در بهینه‌سازی‌های دوهدفه (جدول ۵) و سه‌هدفه (جدول ۶) مقادیر پارامترهای طراحی برای جواب‌هایی با حالت‌های حدی به عنوان نمونه آورده شده‌اند.

#### ۸- فهرست علامت

ضریب نسبت سختی	<i>C<sub>H</sub></i>
قطر گام چرخدنده (mm)	<i>d</i>
عرض چرخدنده (mm)	<i>F</i>
ضریب اطمینان معادل یا مؤثر	<i>FS</i>
قيود نامساوی	<i>g</i>
قيود تساوی	<i>h</i>
بردار توابع هدف	<i>J</i>
ضریب کلفتی طوقه	<i>K<sub>B</sub></i>
ضریب توزیع بار	<i>K<sub>H</sub></i>
ضریب فزونی بار	<i>K<sub>O</sub></i>
ضریب اعتمادپذیری	<i>K<sub>R</sub></i>
ضریب اندازه	<i>K<sub>s</sub></i>
ضریب دمایی	<i>K<sub>T</sub></i>
ضریب پویایی	<i>K<sub>v</sub></i>
جرم بی بعد	<i>M̄</i>
مدول عمودی (mm)	<i>m<sub>n</sub></i>
مدول مایل (mm)	<i>m<sub>t</sub></i>
تعداد دندنه چرخدنده	<i>N</i>
تعداد اعضای جمعیت	<i>N<sub>pop</sub></i>
بردار ثوابت	<i>p</i>
تنش تماسی مجاز (MPa)	<i>S<sub>c</sub></i>

نتایج حاصل از روش مجموع توابع هدف وزن دار با دو نقطه‌ی P و Q در شکل ۹ قابل مشاهده‌اند که در نقطه‌ی Q ضرایب وزنی سه هدف برابر بوده و در نقطه‌ی P، برای اهداف اول تا سوم ضرایب وزنی به ترتیب برابر با ۰/۰۷، ۰/۰۷ و ۰/۰۷ می‌باشند. از آنجاکه بیشترین دغدغه‌ی طراحان گیربکس سیستم محركه‌ی هلیکوپتر کاهش وزن آن می‌باشد، ضریب وزنی برای این پارامتر غالباً مقدار بیشتری به خود می‌گیرد که برای مثال در این تحقیق برابر ۰/۰۷ است. انتخاب شده است ولی در هر حال پارامترهای ضرایب اطمینان و توزیع مناسب آن نیز اهمیت خود را دارند. با توجه به اینکه نقطه‌ی شروع فرایند بهینه‌سازی، مقادیر گیربکس موجود می‌باشند که سال‌هاست عملاً از نظر استحکام پاسخگوی نیازهای طراحی بوده‌اند لذا بمنظور می‌رسد از ضرایب اطمینان تعییر چندانی در طرح موجود لازم نباشد. بهمین دلیل ضریب وزنی این پارامتر می‌تواند کم اثر در نظر گرفته شود (برای مثال ۰/۰۷). به‌منظور بررسی تأثیر این ضرایب، مقادیر متفاوت دیگری نیز می‌توان انتخاب نمود برای مثال نقطه‌ی Q در شکل ۹ حالتی را نشان می‌دهد که در آن هر سه ضریب مقدار یکسانی را دارند. چنان‌که مشهود است، پاسخ‌های به دست آمده روی جبهه‌ی پارتیوی سبعده‌ی قرار دارند.

#### ۷- نتیجه‌گیری و جمع‌بندی

در این مقاله پس از گسترش معادلات خستگی چرخدنده‌های گیربکس اصلی هلیکوپتر سیکورسکی ASH-3D، به بهینه‌سازی تک‌هدفه مسئله با استفاده از الگوریتم زنگیکی و نیز بهینه‌سازی دوهدفه و سه‌هدفه به روش الگوریتم زنگیکی با مرتب‌سازی نامغلوب پرداخته شده و دو پارامتر طراحی مدول عمودی (*m<sub>n</sub>*) و عرض چرخدنده‌ها (*F*) برای هریک از چرخدنده‌های موجود تعیین گردیده است. در بهینه‌سازی تک‌هدفه، تابع هدف به صورت کاهش جرم چرخدنده‌ها تعیین شده و در ادامه، در بهینه‌سازی دوهدفه تابع هدف افزایش ضریب اطمینان کمینه‌ی موجود و نیز در بهینه‌سازی سه‌هدفه، تابع هدف کاهش اختلاف میان ضرایب اطمینان کمینه و بیشینه‌ی مجموعه‌ی چرخدنده‌ها به مسئله اضافه شده‌اند. از آجایی که پارامتر مدول عمودی (*m<sub>n</sub>*) از میان مجموعه‌ی مدول‌های استاندارد مرجع انتخاب شده و متغیری گستره به شمار می‌آید و در مقابل پارامتر عرض چرخدنده‌ها (*F*) نیز متغیری پیوسته است، بهینه‌سازی با استفاده از متغیرهای گسسته - پیوسته‌ی ترکیبی صورت می‌گیرد. نتایج به دست آمده در بهینه‌سازی تک‌هدفه حاکی از کاهش ۰/۲۷۴ درصدی

## ۱۰- مراجع

- [1] M. Ognjanovic, Decisions in gear train transmission design, *Research in Engineering Design*, Vol. 8, No. 3, pp. 178-187, 1996.
- [2] T. Yokota, T. Taguchi, M. Gen, A solution method for optimal weight design problem of the gear using genetic algorithms, *Computers & industrial engineering*, Vol. 35, No. 3, pp. 523-526, 1998.
- [3] D. F. Thompson, S. Gupta, A. Shukla, Tradeoff analysis in minimum volume design of multi-stage spur gear reduction units, *Mechanism and Machine Theory*, Vol. 35, No. 5, pp. 609-627, 2000.
- [4] J. Marcellin, Genetic optimisation of gears, *The International Journal of Advanced Manufacturing Technology*, Vol. 17, No. 12, pp. 910-915, 2001.
- [5] V. Savsani, R. Rao, D. Vakharia, Optimal weight design of a gear train using particle swarm optimization and simulated annealing algorithms, *Mechanism and machine theory*, Vol. 45, No. 3, pp. 531-541, 2010.
- [6] A. K. Singh, H. P. Gangwar, R. Saxena, A. Misra, Optimization of Internal Spur Gear Design Using Genetic Algorithm, *MIT International Journal of Mechanical Engineering*, Vol. 2, No. 1, pp. 22-30, 2012.
- [7] A. Swantner, M. I. Campbell, Topological and parametric optimization of gear trains, *Engineering Optimization*, Vol. 44, No. 11, pp. 1351-1368, 2012.
- [8] S. i. Golabi, J. J. Fesharaki, M. Yazdipoor, Gear train optimization based on minimum volume/weight design, *Mechanism and Machine Theory*, Vol. 73, pp. 197-217, 2014.
- [9] A. Standard, Fundamental rating factors and calculation methods for involute spur and helical gear teeth, *ANSI/AGMA*, pp. B88, 2001.
- [10] A. Standard, Design Manual for Bevel Gears, *ANSI/AGMA* 2005-D03, 2005.
- [11] V. B. Jammu, D. Lewicki, K. Danai, Structure-based connectionist network for fault diagnosis of helicopter gearboxes, *Journal of Mechanical Design*, Vol. 120, No. 1, pp. 100-105, 1998.
- [12] M.H. Shojaeifard, R. Talebitooti, M. Torabi, R. Ahmadi, Optimization of inhomogeneous rotating discs by the ingredient method, *Modares Mechanical Engineering*, Vol.14, No.1, pp. 27-34, 2014 (In Persian).
- [13] R. L. Haupt, S. E. Haupt, *Practical genetic algorithms*, John Wiley & Sons, 2004.
- [14] K. Anagnostopoulos, G. Mamanis, A portfolio optimization model with three objectives and discrete variables, *Computers & Operations Research*, Vol. 37, No. 7, pp. 1285-1297, 2010.
- [15] A. Konak, D. W. Coit, A. E. Smith, Multi-objective optimization using genetic algorithms: A tutorial, *Reliability Engineering & System Safety*, Vol. 91, No. 9, pp. 992-1007, 2006.
- [16] K. Deb, D. E. Goldberg, An investigation of niche and species formation in genetic function optimization, in *Proceeding of Morgan Kaufmann Publishers Inc.*, pp. 42-50, 1989.
- [17] R. Spallino, S. Rizzo, Multi-objective discrete optimization of laminated structures, *Mechanics Research Communications*, Vol. 29, No. 1, pp. 17-25, 2002.
- [18] M.H. Shojaeifard, R. Talebitooti, S. Yarmohammadi Satri, Enhancing rollover threshold of fuel tanks based on designing optimization algorithm, *Modares Mechanical Engineering*, Vol.13, No.1, pp. 1-12, 2013 (In Persian).
- [19] A. Standard, Effect of Lubrication on Gear Surface Distress, *AGMA 925-A03*, 2003.
- [20] I. Y. Kim, O. De Weck, Adaptive weighted-sum method for bi-objective optimization: Pareto front generation, *Structural and multidisciplinary optimization*, Vol. 29, No. 2, pp. 149-158, 2005.

ضریب اطمینان خمی	$S_F$
ضریب اطمینان تماسی	$S_H$
تنش خمی مجاز (MPa)	$S_t$
تعداد نسل	$t$
گشتاور انتقالی (N.mm)	$T$
بار مماسی انتقالی (N)	$W^t$
بردار متغیرهای طراحی	$x$
بردار متغیرهای طراحی	$y$
ضریب هندسی خمی	$Y_J$
ضریب عمر تنش خمی	$Y_N$
ضریب کشسان ( $\sqrt{\text{MPa}}$ )	$Z_E$
ضریب هندسی تماسی	$Z_I$
ضریب عمر تنش تماسی	$Z_N$
ضریب پرداخت سطح	$Z_R$
علامی یونانی	
زاویه گام چرخدنده مخروطی (degree)	$\Gamma$
چگالی ( $\text{kgm}^{-3}$ )	$\rho$
ضریب وزنی	$\lambda$
نرخ جهش	$\mu$
زیرنویس‌ها	
مقدار موردنظر	$d$
چرخ کوچک	$P$
چرخ بزرگ	$G$

## ۹- تشكیر و سپاسگزاری

در این بخش، نویسنده‌گان بر خود فرض می‌دانند تا کمال تشكیر و سپاسگزاری خود را از مهندسان شرکت پشتیبانی و نوسازی هلیکوپترهای ایران (پنهان) به‌ویژه جناب آقای مهندس طباطبایی ابراز دارند؛ چراکه راهنمایی‌های ارزشمند و کمک‌های بی‌دریغ ایشان نقش بسزایی در بهثمر رسیدن این پژوهش داشته است.